

ФІЗИКО-МАТЕМАТИЧНІ НАУКИ

УДК 532.529

В.М. Буйвол, д-р фіз.-мат. наук, проф.
Н.Б. Фоміна, старш. викл.

НАБЛИЖЕНИЙ МЕТОД РОЗРАХУНКУ СУПЕРКАВЕРН

Розглянуто наближений метод розрахунку форми суперкаверн, який дозволяє отримати просту формулу для розрахунку форми поперечних перетинів суперкаверни за тілом, що рухається в рідині з урахуванням поля сил тяжіння та поверхневого натягу. Дослідження проілюстровано рисунками поперечних перетинів суперкаверн.

The approximate method of calculation of super cavities form, which allows getting a simple formula for the calculation of form of the cross sections of super cavity for a body that moves in a liquid taking into account the field of gravity and surface tension forces, is considered.

Вступ

Методам розрахунку просторових суперкаверн присвячено багато наукових праць, з яких відзначимо [1–4]. У цих роботах можна знайти напівекспериментальні методи розрахунку вісесиметричних суперкаверн, а також суперкаверн, що перебувають під дією полів сили тяжіння, поверхневого натягу, в'язкості. Щодо останніх, то розрахунок суперкаверн у них зводиться до потреби розв'язання нескінченних систем нелінійних рівнянь, що не сприяє широкому застосуванню цих методів. Проте на основі цих робіт можна запропонувати досить прості алгоритми розрахунку просторових суперкаверн з урахуванням властивостей рідини та умов руху каверностворювального тіла.

Постановка завдання

Нехай маємо досить видовжену каверну. Тоді її рух зручно розглядати в нерухомій системі координат $Oxyz$, де початок системи розміщується в центрі кавітатора, вісь Ox напрямлена в бік, протилежний напрямку швидкості V_0 руху каверни, вісь Oy – вертикально вгору (проти вектора прискорення), а вісь Oz лежить в горизонтальній площині. Якщо припустити, що в початковий момент часу $t=0$ у площині yOz був розміщений кавітатор (точніше його перетин, з якого зриваються струмені рідини), то в наступні моменти часу в цю площину будуть входити все нові й нові поперечні перетини каверни, з яких власне і будується сама каверна. Застосування такої площини спостережень особливо доцільне у випадку кавітатора-диска. Яка б не була форма перетину зриву струменів, з часом вона буде змінюватися, деформуватися.

Подамо “радіус” такого деформованого поперечного перетину каверни сумою

$$R(t, \vartheta) = R_0(t) + f(t, \vartheta),$$

де $R_0(t)$ – радіус вісесиметричної каверни, яка утворюється за симетричним тілом, що швидко рухається, в ідеальній рідині;

$f(t, \vartheta)$ – деформація радіуса каверни, яка спричинена різними збуреннями.

Під збуренням розуміють все те, що відрізняє умови досліджуваної течії від течії за симетричним тілом в ідеальній рідині. Це можуть бути як властивості самої рідини (наявність сили тяжіння, поверхневого натягу, в'язкості), так і різні умови організації течії (форма кавітувального тіла, його орієнтація в потоці, наявність близько розташованих інших тіл тощо). Хоча точних формул для $R_0(t)$ немає, але є досить точні наближені формули, що добре узгоджуються з експериментальними даними. Найчастіше використовують таку формулу вісесиметричної каверни, тобто рівняння її меридіонального перетину:

$$R_0(t) = R_k(\sigma) \sqrt{1 - a(\sigma)(1-t)^2};$$

$$R_k(\sigma) = \sqrt{\frac{c_x(\sigma)}{k(\sigma)\sigma}},$$

$$a(\sigma) = 1 - \frac{4,38\sigma}{c_x};$$

$$k(\sigma) = \frac{1 + 50\sigma}{1 + 56,2\sigma}.$$

Коефіцієнт опору кавітувального тіла $c_x(\sigma)$ залежить від числа кавітації σ . Так для кавітатора-диска вважають [1; 4], що

$$c_x = c_{x0}(1 + \sigma),$$

для конусів

$$c_x = c_{x0} + \sigma,$$

де c_{x0} – коефіцієнт опору за нульового числа кавітації, його визначають експериментально і вважають $c_{x0} \approx 0,82$.

Проте Гузевський [4] теоретично довів, що формули для конусів з кутом розхилу конуса $2\gamma < 90^\circ$ мають вигляд, $c_x = c_{x0}(1 + 1,05\sigma)$,

для конусів з кутом $2\gamma > 90^\circ$

$$c_x = c_{x0} + \frac{2}{3}\sigma.$$

Змінна t – це відносний час входу перетину в площину спостереження, якщо в момент $t = 0$ в цій площині перебував кавітатор. Фактично це координата вздовж осі каверни, що відраховується від кавітатора і віднесена до півдовжини каверни:

$$L_k = \frac{1,92 - 3\sigma}{\sigma} R_H,$$

де R_H – радіус перетину зриву струменів з кавітувального тіла.

Формулу для $R_0(t)$ у такому вигляді встановив Г.В. Логвинович [1], а формулу для коефіцієнта k – теоретичним шляхом Л.Г. Гузевський [4]. У працях Гузевського в цих формулах використовувалися різні експериментально знайдені поправкові коефіцієнти.

Розв'язання задачі

У працях [2; 3] для визначення величини деформації радіуса перетину

$$f(t, \vartheta) = \sum_{n=0}^{\infty} f_n(t) \cos n\vartheta$$

отримується нескінченна система диференціальних рівнянь другого порядку:

$$\begin{aligned} & \dot{u} \left(-R_0 + \frac{3}{2} f_2 \right) + u \left(-2\dot{R}_0 + \frac{\dot{R}_0}{R_0} f_2 + 2f_2 \right) - \\ & - \frac{u^2}{R_0} f_3 = 0; \\ & - \frac{R_0}{n} \ddot{f}_n - \frac{2\dot{R}_0}{n} \dot{f}_n + (n-1) \left(\frac{\ddot{R}_0}{n} + \frac{2u^2}{R_0} \right) f_n - \\ & - 2u(\dot{f}_{n-1} - \dot{f}_{n+1}) - \left(\frac{\dot{u}}{2} + \frac{u\dot{R}_0}{R_0} \right) f_{n-1} + \\ & + \left(\frac{3\dot{u}}{2} + \frac{u\dot{R}_0}{R_0} \right) f_{n+1} - \frac{nu^2}{R_0} f_{n+2} - \end{aligned} \quad (1)$$

$$\begin{aligned} & - \frac{(n-2)u^2}{R_0} f_{n-2} - \frac{u^2}{R_0} f_1 \delta_{n3} + \\ & + \left[u^2 + \left(\frac{\dot{u}}{2} + \frac{u\dot{R}_0}{R_0} \right) f_1 \right] \delta_{n2} = \tilde{\sigma}_n, \quad (n > 1), \end{aligned}$$

де $u = \dot{f}_1(t)$ – швидкість випливання (підймання) поперечного перетину як недеформованого тіла; δ_{nk} – символ Кронекера.

У системі (1) усі величини відносні :

$$R_0 = \frac{R_0^*}{L_k};$$

$$t = \frac{t^*}{t_k^*},$$

де L_k – півдовжина вісиметричної каверни;

t_k^* – час проходження міделя через площину спостережень.

Зірочками * позначені розмірні величини.

Система рівнянь (1) доповнюється відповідними початковими умовами і тоді задачу Коші для системи рівнянь (1) можна розв'язати тим чи іншим числовим способом. Проте наближену форму поперечних перетинів каверни можна отримати в аналітичному вигляді, що й буде предметом цієї роботи. Розв'язок системи (1) можна шукати методом послідовних наближень. Вихідною точкою тут має бути розв'язання лінійної системи. У цьому разі всі величини $f_n(t) = 0$ якщо $n > 1$, а для величини $f_1(t)$ можна отримати просту формулу

$$f_1(t) = Nt, \quad \left(N = \frac{2(1+\sigma)}{3\sigma Fr^2} \right), \quad (2)$$

яка досить точно описує експериментальні дані, особливо в післямідельній частині каверни. Далі запишемо рівняння нелінійної системи у вигляді, зручному для побудови ітеративного процесу:

$$\frac{1}{R_0^2} \frac{d(R_0^2 \dot{f}_n(t))}{dt} = \frac{n-1}{n} \ddot{R}_0 f_n + \quad (3)$$

$$+ 2R_0(t) \dot{f}_1(t) f_{n-1}(t) = \tilde{\sigma}_n;$$

$$\tilde{\sigma}_n = \sigma_n + \frac{8\bar{H}_n}{We} - \frac{\bar{Z}_n}{2Fr^2},$$

$$We = \frac{\rho^* V_0^{*2} d_n^*}{\tau^*};$$

$$Fr = \frac{V_0^*}{\sqrt{g^* d_n^*}},$$

де σ_n, H_n, Z_n – коефіцієнти розкладів у ряди Фур’є числа кавітації, середньої кривини і підняття межової точки каверни над горизонтальною площиною;

We, Fr – числа Вебера і Фруда за діаметром початкового перетину (перетину зриву струменів);

ρ^*, τ^* – густина рідини і коефіцієнт її поверхневого натягу.

Якщо рівняння (3) проінтегрувати один раз з урахуванням формули (2), цей ітеративний процес можна записати:

$$\begin{aligned} \dot{f}_n^{(i)} &= \frac{n-1}{R_0^2(t)} \int_0^t R_0(t) \ddot{R}_0(t) f_n^{(i-1)} dt + \\ &+ \frac{n}{R_0^2(t)} \int_0^t R_0(t) \dot{f}_1^{(i)}(t) f_{n-1}^{(i-1)}(t) - \frac{n}{R_0^2(t)} \int_0^t R_0(t) \tilde{\sigma}_n^{(i-1)} dt. \end{aligned} \quad (4)$$

Розглядаючи послідовні ітерації (4), бачимо, що всі вони зрештою виражаються через величину $f_1(t)$. Тому після оцінки інтегралів ітеративний процес (4) можна спростити до такого:

$$\begin{aligned} f_n(t) &= \frac{(-1)^{n-1} n!}{R_0(t)} \int_0^t f_1(t) \int_0^t f_1(t) \int_0^t f_1(t) \dots \\ &\dots \int_0^t \frac{f_1(t)}{R_0(t)} \int_0^t f_1^2(t) R_0(t) dt dt \dots dt. \end{aligned} \quad (5)$$

Інтеграл тут повторюється $n-1$ разів. Звичайно, проінтегрувати інтеграли (5) неможливо. Проте для середньої частини каверни, де можна вважати, що

$$R_0(t) \approx R_k, \quad f_1(t) = Nt$$

таке інтегрування можливе, і тоді

$$\dot{f}_n(t) = \frac{(-1)^{n-1} n! N^n t^{2n-1}}{(2n-1)!! R_k^{n-3} R_0^2(t)}; \quad (6)$$

$$\dot{f}(t, \vartheta) = \sum_0^\infty \left[\int_0^t \frac{(-1)^{n-1} n! N^n t^{2n-1}}{(2n-1)!! R_k^{n-3} R_0^2(t)} dt \right] \cos n\vartheta.$$

Про припустимість такого підходу свідчить рис. 1, на якому зображено значення умовно точної функції $v(t) = \dot{f}_2(t)$:

$$\dot{f}_2(\sigma, t) = \int_0^t t^2 \sqrt{1 - a(\sigma)(1-t)^2},$$

і значення того наближення, яке використовується:

$$\dot{f}_2(t) = \frac{t^3}{3} = \text{aprox.}$$

Значення точної функції обчислені для чисел кавітації $\sigma = 0,02 \dots 0,14$ через $\Delta\sigma = 0,02$. Видно, що всі криві від числа кавітації майже не залежать і тому замість точної формули цілком можна користуватися наближеною.

Отже, деформація радіуса каверни в її середній частині після інтегрування формули (6) може бути виражена таким рядом Фур’є

$$f(t, \vartheta) = f_0(t) + \sum_{n=2}^\infty \frac{(-1)^{n-1} n! N^n t^{2n-1}}{2n(2n-1)!! R_k^{n-1}} \cos n\vartheta. \quad (7)$$

Легко показати, що ряди для похідних (6) і функцій (7) збігаються за однієї умови:

$$t^2 \leq \frac{3R_k \sigma Fr^2}{1 + \sigma} \approx \frac{3}{2} \sigma \sqrt{\sigma Fr^2}.$$

За цієї умови ряд (6) має суму ряду. Запишемо ряд у такий спосіб

$$\dot{f}(t, \vartheta) = \dot{f}_0 + \dot{f}_2 \left(\cos 2\vartheta + \frac{\dot{f}_3}{f_2} \cos 3\vartheta + \dots \right). \quad (8)$$

Знайдемо послідовні значення відношень швидкостей деформацій. Тоді вираз (8) у дужках матимемо ряд

$$\begin{aligned} \dot{f}(t, \vartheta) &= \cos 2\vartheta - \frac{3p^2}{5} \cos 3\vartheta + \frac{3 \cdot 4 p^4}{5 \cdot 7} \cos 4\vartheta + \\ &+ \frac{3 \cdot 4 \cdot 5 p^6}{5 \cdot 7 \cdot 9} \cos 5\vartheta + \dots, \left(p^2 = \frac{Nt^2}{R_k} \right). \end{aligned} \quad (9)$$

По-перше, при зростанні номера члена ряду його коефіцієнти прямують до значення $1/2$. По-друге, ряд (9) у найбільш характерних точках $\vartheta = 0; \pi/4; \pi; 3\pi/4; \pi$ поводить себе так, як геометрична прогресія із знаменником, значення якого лежать в діапазоні $q = 0,5 \dots 0,7$. Тому тепер ряд (9) можна записати у вигляді

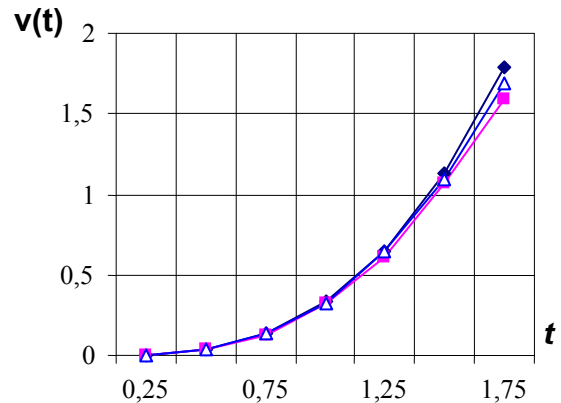


Рис. 1. Порівняння з точними значеннями:

- ◆ aprox;
- $\sigma = 0,002$;
- △ $\sigma = 0,14$

$$\dot{F}(t, \vartheta) = \cos 2\vartheta - \frac{3p^2}{5} \cos 3\vartheta + \frac{3 \cdot 4p^4}{5 \cdot 7} \cos 4\vartheta - \dots$$

Якщо пригадати ряд [5]

$$\frac{1-v^2}{1-2v \cos \vartheta + v^2} = 1 + 2 \sum_{n=1}^{\infty} v^n \cos n\vartheta, \quad (|v| < 1),$$

то для функції $\dot{f}(t, \vartheta)$ з рівняння (8), яка характеризує швидкість зміни радіуса каверни з часом, отримуємо формулу

$$\dot{f}(t, \vartheta) = \dot{f}_0(t) + \frac{\cos 2\vartheta + v^2 \cos \vartheta}{1 + 2v \cos \vartheta + v^2} \dot{f}_2(t), \quad (v^2 = qp^2).$$

Для отримання самої функції $f(t, \vartheta)$ потрібно знайти інтеграл від її похідної. Але простіше спочатку знайти інтеграл від функції $\dot{F}(t, \vartheta)$, що можна виконати для середньої частини каверни, а вже потім знайти і функцію $f(t, \vartheta)$, яка в цьому разі виявляється такою:

$$f(t, \vartheta) = f_0(t) - \frac{N^2 t^4 \cos 2\vartheta + v^2 \cos \vartheta}{6R_k (1 + 2v \cos \vartheta + v^2)}. \quad (10)$$

Обчислення функції (10) разом з функцією $R_0(t)$ було реалізоване в пакеті MathCad. Для цього рівняння записували в такій формі:

$$c_x(\sigma) = 0,84(1 + \sigma),$$

$$k(\sigma) = \frac{1 + 50\sigma}{1 + 56,2\sigma};$$

$$Rkn(\sigma) = \sqrt{\frac{c_x(\sigma)}{\sigma k(\sigma)}},$$

$$a(\sigma) = 1 - \frac{4,38\sigma}{1 + \sigma};$$

$$R_0(\sigma, t) = Rkn(\sigma) \sqrt{1 - a(\sigma)(1-t)^2};$$

$$L_k(\sigma) = \frac{1,92 - 3\sigma}{\sigma},$$

$$r(\sigma) = \frac{(1 + \sigma)L_k(\sigma)}{3\sigma} \sqrt{\frac{\sigma k(\sigma)}{c_x(\sigma)}};$$

$$p(\sigma) = \frac{1,5(1 + 2\sigma)L_k(\sigma)}{27\sigma^2} \sqrt{\frac{\sigma k(\sigma)}{c_x(\sigma)}};$$

$$u(\sigma, Fr, t) = r(\sigma) \frac{t^2}{Fr^2};$$

$$f(\sigma, Fr, t, \vartheta) = -p(\sigma) \left(\frac{t^2}{Fr^2} \right)^2 \times$$

$$\times \frac{\cos 2\vartheta + u(\sigma, Fr, t) \cos \vartheta}{1 + 2u(\sigma, Fr, t) \cos \vartheta + [u(\sigma, Fr, t)]^2};$$

$$R(\sigma, Fr, t, \vartheta) = R_0(\sigma, t) + f(\sigma, Fr, t, \vartheta).$$

Величини σ, Fr, t мають задовольняти умови:

$$4qt^2 < 3\sigma\sqrt{\sigma}Fr^2;$$

$$u(\sigma, Fr, t) < 1;$$

$$\sigma\sqrt{\sigma}Fr^2 \geq 2.$$

Урахування поверхневого натягу

Оскільки за малих чисел кавітації каверну можна розглядати як витягнутий еліпсоїд обертання, то кривизну каверни можна ототожнити з кривизною еліпсоїда:

$$\frac{x'^2}{a^2} + \frac{y'^2}{b^2} + \frac{z'^2}{b^2} = 1,$$

у якого

$$a = L_k,$$

$$b = R_k.$$

Скориставшись параметричним рівнянням

$$x' = a \cos v,$$

$$y' = b \sin v \sin u,$$

$$z' = b \sin v \cos u$$

і ввівши радіус-вектор

$$\vec{r} = \{x', y', z'\},$$

знаходимо коефіцієнти першої і другої диференціальних форм Гаусса

$$E = b^2 \sin^2 v;$$

$$G = a^2 \sin^2 v + b^2 \cos^2 v;$$

$$F = 0;$$

$$L = \frac{\vec{r}_{uu}(\vec{r}_u \times \vec{r}_v)}{\sqrt{EG - F^2}};$$

$$M = \frac{\vec{r}_{uv}(\vec{r}_u \times \vec{r}_v)}{\sqrt{EG - F^2}};$$

$$N = \frac{\vec{r}_{vv}(\vec{r}_u \times \vec{r}_v)}{\sqrt{EG - F^2}}.$$

За формулою

$$(EG - F^2)k^2 + (2FM - EN - GL)k + LN - M^2 = 0$$

знаходимо головні кривизни k_1 і k_2 , а потім – і середню кривизну

$$H \approx \frac{1}{2b\sqrt{1 - \frac{(x-a)^2}{a^2}}} \approx \frac{1}{2b\sqrt{1 - \frac{(x-a)^2}{a^2}}}.$$

А оскільки в середній частині каверни

$$\frac{(x-a)^2}{a^2} \ll 1, \text{ то } H \approx \frac{1}{2b} \left(1 + \frac{(x-a)^2}{2a^2} \right) \approx \frac{1}{2R_k}.$$

Тобто кривизну меридіана можна не враховувати.

Висновки

Дослідимо кавітаційну течію, якщо $\sigma = 0,08$; $Fr = 10$. У такій течії утворюється досить велика каверна, поперечні перетини якої суттєво деформуються наявністю поля сили тяжіння. Результати розрахунку радіусів поперечних перетинів $R(\sigma, Fr, t, \vartheta) / R_H$ каверни показано на рис. 2 у моменти часу $t = 1,25$; $t = 1,5$; $t = 1,75$ при поділі відрізка $[0; \pi]$ на 18 частин.

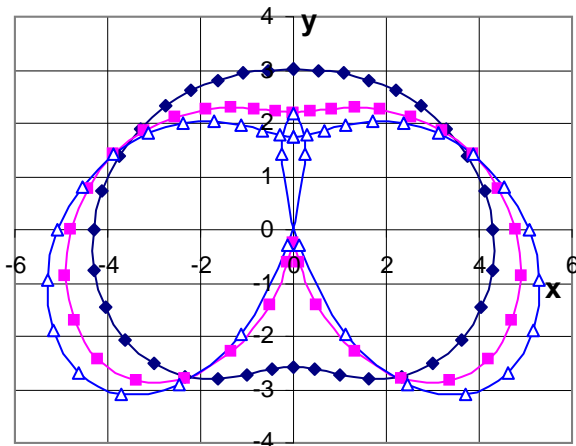


Рис. 2. Перетини каверни:
 ◆ $t = 1,25$;
 ■ $t = 1,5$;
 ▲ $t = 1,6$

Графіки точно ілюструють дію сили тяжіння. Це вона призводить до утворення характерної впадини знизу каверни, яка стає помітною уже біля міделя і потім швидко зростає до кінця каверни. У перетині $t = 1,6$ каверна уже не існує, вона зруйнована.

Ще одне зауваження стосується меж застосування пропонованого методу розрахунку. Як видно з рис. 2, у нижній частині каверни деформації її радіусів можуть бути досить значними і тоді похибки розрахунків теж будуть великими. Як показують порівняння з експериментальними дослідженнями, радіус каверни при $\vartheta = \pi$ не повинен бути надто малою величиною, оскільки вся теорія побудована на припущенні

$$\frac{f(\sigma, Fr, t, \pi)}{R_0(\sigma, t, \pi)} < 1,$$

що забезпечується умовою $\sigma \sqrt{\sigma Fr^2} \geq 2$ [2].

У течії з урахуванням поверхневого натягу – розрахункове число кавітації має бути таким

$$\sigma_1 = \sigma + \frac{4R_H}{2R_k We} = \sigma + \frac{2}{We} \sqrt{\frac{\sigma}{0,82(1 + \sigma)}}.$$

Якщо число кавітації течії $\sigma = 0,08$, розрахункове число

$$\sigma_1 = 0,08 + \frac{0,3}{We}.$$

Вплив поверхневого натягу буде помітним лише за умови, що $We = 10 \dots 100$.

Про це свідчить рис.3, на якому показано залежності розрахункового числа кавітації δ_1 від числа Вебера за різних значень числа кавітації.

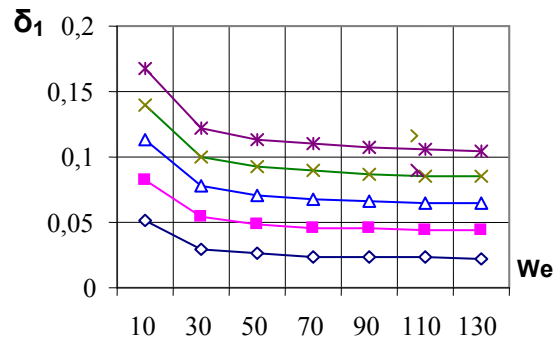


Рис. 3 Залежність $\delta_1 = \delta_1(\delta, We)$:

- ◆ $\delta = 0,02$;
- $\delta = 0,04$;
- ▲ $\delta = 0,06$;
- ▼ $\delta = 0,08$;
- ✱ $\delta = 0,1$

Добре видно, що навіть при $We = 50$ вплив поверхневого натягу уже незначний. Схожий висновок є і в роботі [6]: поверхневим натягом можна знехтувати, якщо $\sigma We \gg 1$. Це означає, що в суперкавернах враховувати сили поверхневого натягу не доцільно. Проте для малих каверн воно може бути суттєвим.

Література

1. Логвинович Г.В. Гидродинамика течений со свободными границами.– К.: Наук. думка, 1975. – 208 с.
2. Буйвол В.М., Логвинович Г.В. Про деформацію поперечних перетинів каверни у важкій рідині // Доп. АН УРСР. Сер. А. – 1971. – № 2. – С. 157–159.
3. Буйвол В.М., Логвинович Г.В., Шевчук Ю.Р. Система уравнений возмущенного движения тонких каверн // Доп. АН УРСР. Сер. А. – 1985. – № 10. – С. 103–106.
4. Гузевский Л.Г. Численный анализ кавитационных течений. – Новосибирск, 1979. – 36 с. – (Препринт) / Ин-т теплофизики СО АН СССР.
5. Градштейн И.С., Рыжик И.М. Таблицы интегралов, сумм рядов и произведений. – М.: Физматгиз, 1962. – 1096 с.
6. Нестерук И.Г. Некоторые задачи осесимметричных кавитационных течений // Изв. АН СССР. МЖГ. – 1982. – № 1. – С. 28–34.

Стаття надійшла до редакції 17.10.07.

